

Komplexitätstheoretische Betrachtungen von gitterbasierten Kryptosystemen

Patrick Vogt

Hochschule RheinMain

4. September 2013

Übersicht

- 1 Einführung
- 2 Grundlagen
- 3 Berechnungsprobleme in Gittern
- 4 Komplexität der Gitterprobleme
- 5 Gitterbasierte Kryptografieverfahren
- 6 Fazit

Einführung

Asymmetrische Kryptografie

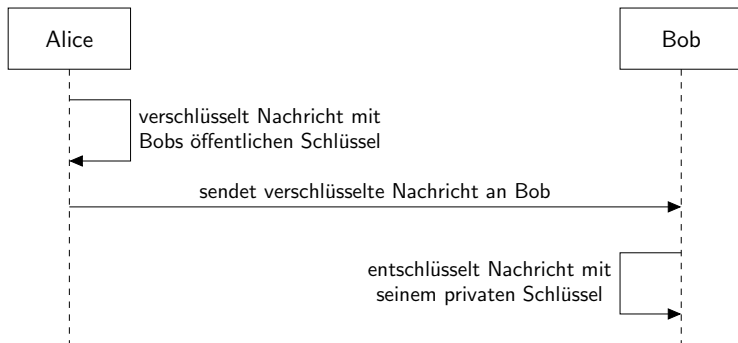


Abbildung : Die Ver- und Entschlüsselung mithilfe eines asymmetrischen Kryptografieverfahrens.

Einwegfunktionen mit Falltür

Zentraler Baustein eines asymmetrischen Kryptografieverfahrens ist eine Einwegfunktion mit *Falltür*.

D.h.:

- $x \rightarrow f(x)$ - „relativ“ leicht.
- $f(x) \rightarrow x$ - „relativ“ schwierig (ohne Falltürinformation).

Beispiele (u. a.):

- Telefonbuch
- Primfaktorzerlegung

Post-Quantum Kryptografie

RSA basiert auf der Primfaktorzerlegung

→ mithilfe eines Quantumcomputers in P lösbar.

(Noch nicht effiziente) Alternativen:

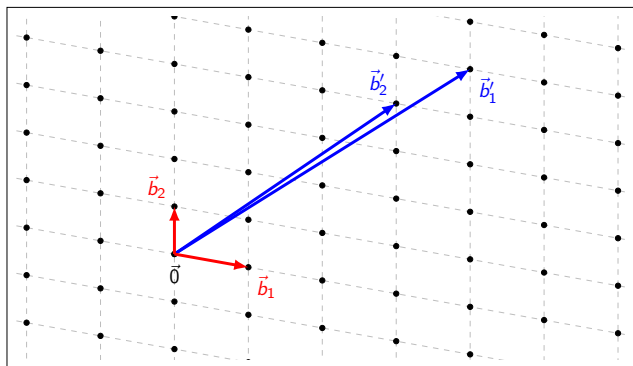
- Hash-basierte Kryptografie
- Codebasierte Kryptografie
- Gitterbasierte Kryptografie

Warum schon heute nach Nachfolger(n) suchen?

Grundlagen

Gittertheorie: Einführung

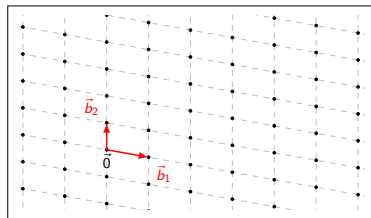
$$\mathcal{L}(\vec{b}_1, \vec{b}_2, \dots, \vec{b}_n) =_{\text{def}} \{x_1 \vec{b}_1 + x_2 \vec{b}_2 + \dots + x_n \vec{b}_n\}, x_1, x_2, \dots, x_n \in \mathbb{Z}$$



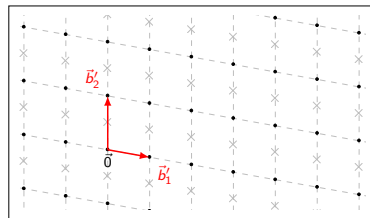
Lineare Hülle: $\text{span}(\mathcal{L}(B)) = \text{span}(B) =_{\text{def}} \{B\vec{q} : \vec{q} \in \mathbb{R}^n\}$.

Gittertheorie: Äquivalenz

Gitter können in Relation stehen:



$\mathcal{L}(B)$

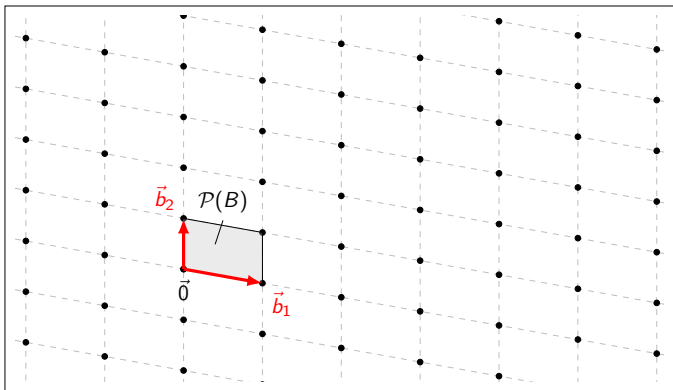


$\mathcal{L}(B')$

Äquivalent, wenn $\mathcal{L}(B) \subseteq \mathcal{L}(B')$ und $\mathcal{L}(B') \subseteq \mathcal{L}(B)$
 oder $B = B' \cdot U$ mit $U \in \mathbb{Z}^{n \times n}$ und $|\det(U)| = 1$.

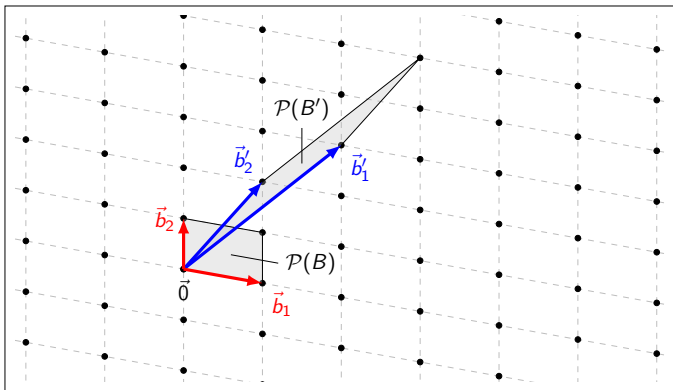
Gittertheorie: Grundmasche

$$\mathcal{P}(B) =_{\text{def}} \{s_1 \vec{b}_1 + s_2 \vec{b}_2 + \dots + s_n \vec{b}_n\}, \quad s_1, s_2, \dots, s_n \in [0, 1]$$



Gittertheorie: Grundmasche

$$\mathcal{P}(B) =_{\text{def}} \{s_1 \vec{b}_1 + s_2 \vec{b}_2 + \cdots + s_n \vec{b}_n\}, \quad s_1, s_2, \dots, s_n \in [0, 1)$$



Gittertheorie: Grundmasche

Die Grundmasche hat folgende Eigenschaften:

- sie enthält stets genau einen Gittervektor
- sie spannt gemeinsam mit allen Gittervektoren die lineare Hülle des Gittes auf
- sie hat das Volumen $\sqrt{|\det(B^T \cdot B)|}$

Das Volumen der Grundmasche wird auch als Gitterdeterminante $\det(\mathcal{L}(B))$ bezeichnet.

Gittertheorie: Satz von Blichfeldt

Satz

*Für jedes Gitter $\mathcal{L}(B)$ und jede Teilmenge $S \subseteq \text{span}(B)$ gilt:
Wenn S das Volumen $\text{vol}(S) > \det(\mathcal{L})$ besitzt, so müssen
mindestens zwei unterschiedliche Vektoren $\vec{q}_1, \vec{q}_2 \in S$ existieren,
sodass $\vec{q}_1 - \vec{q}_2 \in (\mathcal{L} \setminus \{\vec{0}\})$ ist.*

Beweis.

(siehe Thesis)



Gittertheorie: Satz von Minkowski

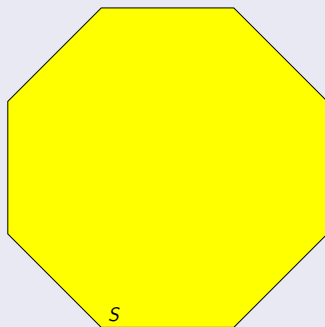
Folgerung

Für jedes Gitter $\mathcal{L}(B)$ und jede beliebige konvexe Menge $S \subset \text{span}(B)$, die symmetrisch um den Ursprung des Gitters \mathcal{L} ist, gilt:

Wenn $\text{vol}(S) > 2^n \det(\mathcal{L})$ ist, dann enthält S mindestens einen Gittervektor $\vec{v} \in (S \cap \mathcal{L} \setminus \{\vec{0}\})$.

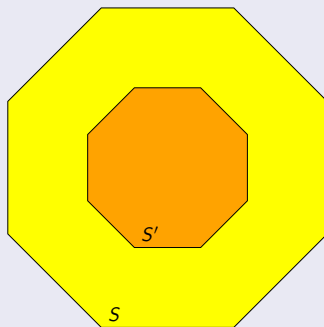
Gittertheorie: Satz von Minkowski

Beweis.



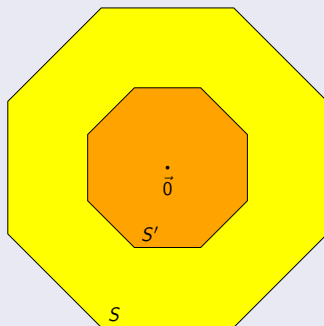
Gittertheorie: Satz von Minkowski

Beweis.



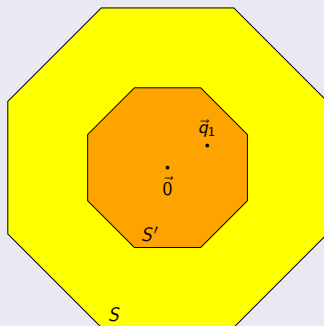
Gittertheorie: Satz von Minkowski

Beweis.



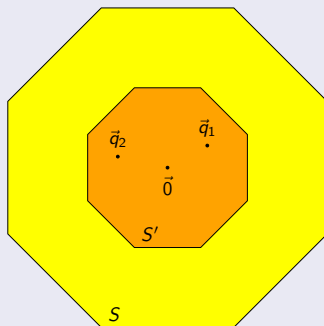
Gittertheorie: Satz von Minkowski

Beweis.



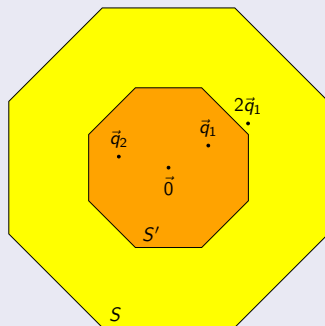
Gittertheorie: Satz von Minkowski

Beweis.



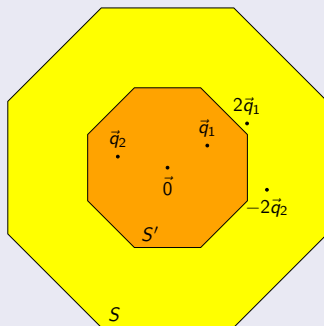
Gittertheorie: Satz von Minkowski

Beweis.



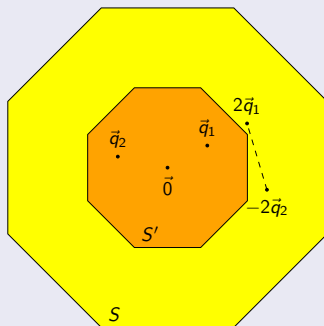
Gittertheorie: Satz von Minkowski

Beweis.



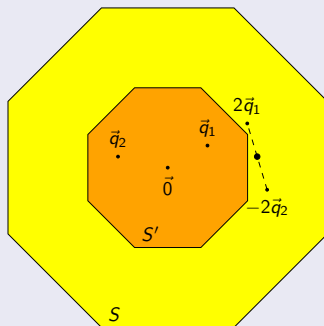
Gittertheorie: Satz von Minkowski

Beweis.



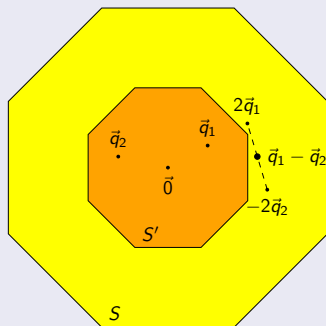
Gittertheorie: Satz von Minkowski

Beweis.



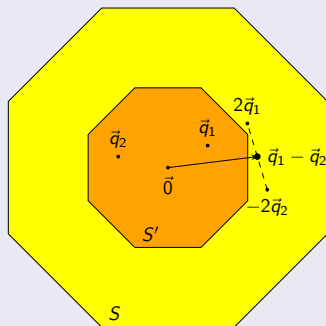
Gittertheorie: Satz von Minkowski

Beweis.

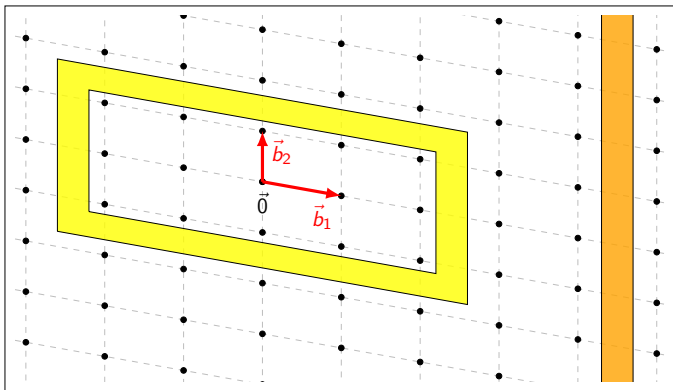


Gittertheorie: Satz von Minkowski

Beweis.



Satz von Minkowski



Distanzen und Längen in Gittern

Distanz von Gittervektoren \rightarrow abhängig von induzierter Norm.

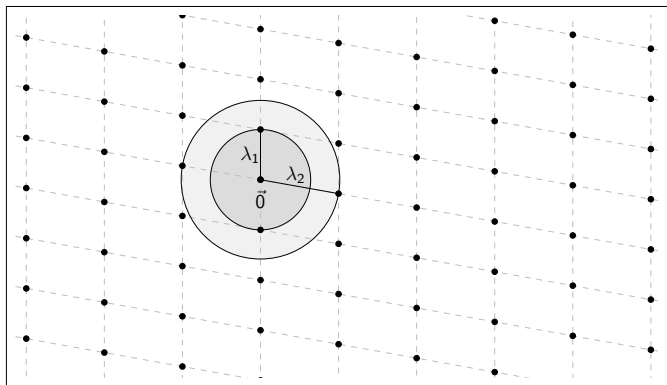
p -Norm für ein Vektor $\vec{v} \in \mathbb{R}^m$ bzw. häufige Spezialfälle:

$$l_1(\vec{v}) = \|\vec{v}\|_1 = \sum_{i=1}^m |v_i| \quad (\text{Summennorm})$$

$$l_2(\vec{v}) = \|\vec{v}\| = \sqrt{\sum_{i=1}^m |v_i|^2} \quad (\text{Euklidische Norm})$$

$$l_\infty(\vec{v}) = \|\vec{v}\|_\infty = \lim_{p \rightarrow \infty} \|\vec{v}\|_p = \max_{i=1}^m |v_i| \quad (\text{Maximumsnorm})$$

Die Konstanten $\lambda_1, \lambda_2, \dots, \lambda_n$ heißen sukzessive Minima (des Gitters) und λ_1 entspricht dem kürzesten Vektor (im Gitter).



Folgerung

Sei \mathcal{L} ein Gitter, so gilt: $\lambda_1 < \sqrt{n} \cdot \sqrt[n]{\det(\mathcal{L})}$.

Gram-Schmidt Orthogonalisierung

Satz

Die Basisvektoren $\vec{b}_1, \vec{b}_2, \dots, \vec{b}_n \in \mathbb{R}^m$ des Gitters $\mathcal{L}(\vec{b}_1, \vec{b}_2, \dots, \vec{b}_n)$ können durch

$$\vec{o}_i = \vec{b}_i - \sum_{j=1}^{i-1} p_{\vec{o}_j}(\vec{b}_i), \quad p_{\vec{o}_j}(\vec{b}_i) = \frac{\langle \vec{b}_i, \vec{o}_j \rangle}{\langle \vec{o}_j, \vec{o}_j \rangle} \vec{o}_j \quad \text{und } i \in \{1, 2, \dots, n\},$$

in eine Orthogonalbasis $\vec{o}_1, \vec{o}_2, \dots, \vec{o}_n$ (von \mathbb{R}^m) transformiert werden.

Beweis.

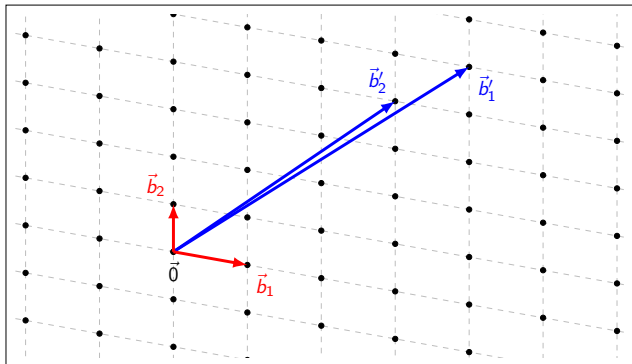
(siehe bel. Lineare Algebra-Buch)



Berechnungsprobleme in Gittern

Effiziente Gitterprobleme - u. a.:

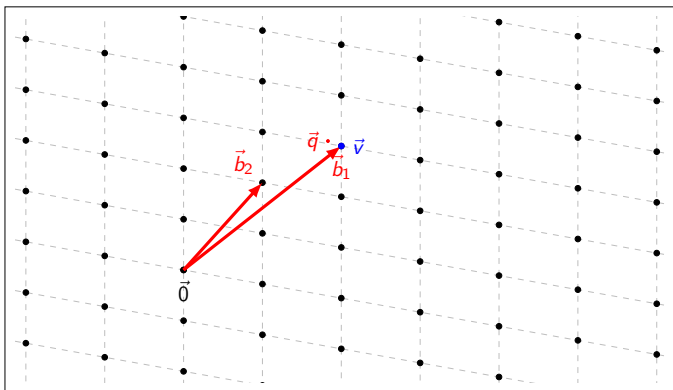
- MEMBERSHIP
- LENGTH
- DISTANCE



Das Closest Vector Problem (CVP)

Gegeben: Basis $B \in \mathbb{Q}^{m \times n}$ mit $m \geq n$, Vektor $\vec{q} \in \text{span}(B)$.

Gesucht: Vektor $\vec{v} \in \mathcal{L}$, sodass $\|\vec{q} - \vec{v}\|$ minimal.



Im allgemeinen Fall ein „schwieriges“ Problem.

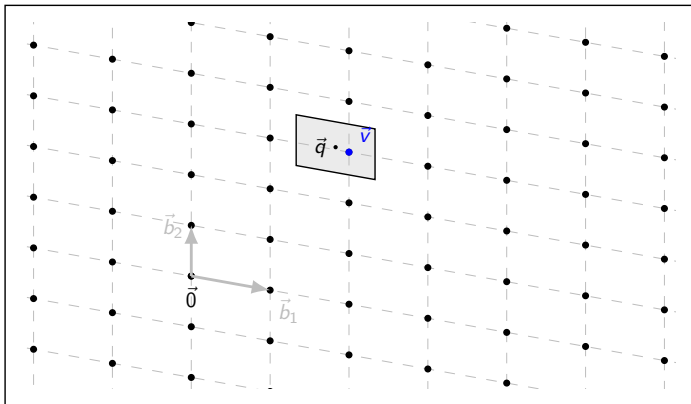
CVP-Approximation

Eingabe : Basis $B \in \mathbb{Q}^{m \times n}$ mit $m \geq n$ und Vektor $\vec{q} \in \text{span}(B)$.

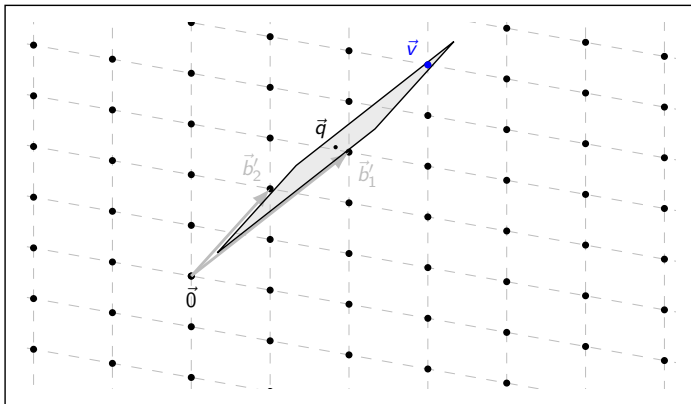
Ausgabe : Gittervektor $\vec{v} \in \mathcal{L}$.

- 1 Berechne $r_1, r_2, \dots, r_n \in \mathbb{R}$, sodass $\vec{q} = r_1 \vec{b}_1 + r_2 \vec{b}_2 + \dots + r_n \vec{b}_n$.
- 2 $\vec{v} \leftarrow \vec{0}$
- 3 **for** $i = 1, 2, \dots, n$ **do**
- 4 | $\vec{v} \leftarrow \vec{v} + \lfloor r_i \rfloor \cdot \vec{b}_i$
- 5 **end for**

Babais ROUNDING OFF PROCEDURE



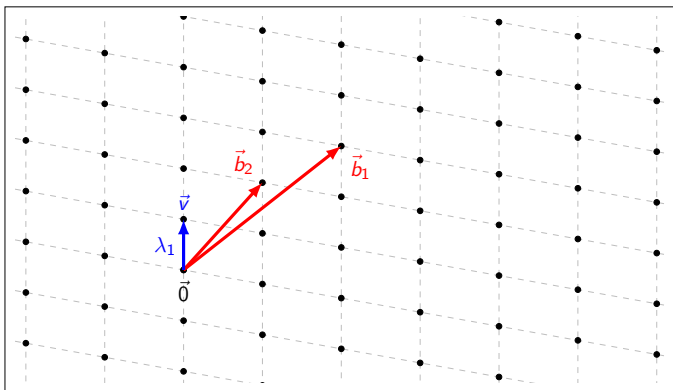
Babais ROUNDING OFF PROCEDURE



Das Shortest Vector Problem (SVP)

Gegeben: Basis $B \in \mathbb{Q}^{m \times n}$ mit $m \geq n$.

Gesucht: Vektor $\vec{v} \in \mathcal{L}$, sodass $\|\vec{v}\| = \lambda_1$.



Im allgemeinen Fall auch ein „schwieriges“ Problem.

SVP-Approximation

Idee: lange nichtorthogonale Basisvektoren
→ kurze orthogonale Basisvektoren.

Längenreduziertheit

Basisvektoren $\vec{b}_1, \vec{b}_2, \dots, \vec{b}_n$, Gram-Schmidt Basisvektoren $\vec{o}_1, \vec{o}_2, \dots, \vec{o}_n$ und $0 < j < i \leq n$:

$$\left| \frac{\langle \vec{b}_i, \vec{o}_j \rangle}{\langle \vec{o}_j, \vec{o}_j \rangle} \right| \leq \frac{1}{2}$$

... äquivalent zu ...

$$\|\vec{b}_i\| \leq \|\vec{b}_i \pm \vec{o}_j\|$$

Längenreduktion

Eingabe : Basisvektoren $\vec{b}_1, \vec{b}_2, \dots, \vec{b}_n \in \mathbb{Q}^m$ und Gram-Schmidt
 Basisvektoren $\vec{o}_1, \vec{o}_2, \dots, \vec{o}_n \in \mathbb{Q}^m$

Ausgabe : Längenreduzierte Basis $\vec{b}'_1, \vec{b}'_2, \dots, \vec{b}'_n \in \mathbb{Q}^m$

```

1 for  $i = 2, 3, \dots, n$  do
2   | for  $j = (i - 1), (i - 2), \dots, 1$  do
3     | |  $\vec{b}_i \leftarrow \vec{b}_i - \left[ \frac{\langle \vec{b}_i, \vec{o}_j \rangle}{\langle \vec{o}_j, \vec{o}_j \rangle} \right] \cdot \vec{b}_j$ 
4     | | end for
5   | end for
6 end for
  
```

SVP-Approximation

Idee: Erweiterung der Längenreduziertheit um eine Längenbegrenzung.

LLL-Reduziertheit . . .

. . . enthält neben Längenreduziertheit noch:

$$\left\| \vec{o}_i + \frac{\langle \vec{b}_i, \vec{o}_{i-1} \rangle}{\langle \vec{o}_{i-1}, \vec{o}_{i-1} \rangle} \vec{o}_{i-1} \right\|^2 \geq \frac{3}{4} \|\vec{o}_{i-1}\|^2$$

. . . äquivalent zu . . .

$$\|\vec{o}_i\|^2 \geq \left(\frac{3}{4} - \left(\frac{\langle \vec{b}_i, \vec{o}_{i-1} \rangle}{\langle \vec{o}_{i-1}, \vec{o}_{i-1} \rangle} \right)^2 \right) \|\vec{o}_{i-1}\|^2$$

Eingabe : Basisvektoren $\vec{b}_1, \vec{b}_2, \dots, \vec{b}_n \in \mathbb{Q}^m$.

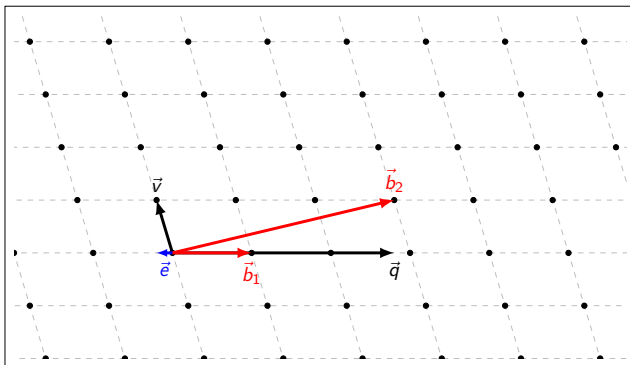
Ausgabe : LLL-reduzierte Basisvektoren $\vec{b}'_1, \vec{b}'_2, \dots, \vec{b}'_n \in \mathbb{Q}^m$.

```

1   $i \leftarrow 2$ 
2   $\vec{o}_1 \leftarrow \vec{b}_1$ 
3  while  $i \leq n$  do
4      for  $j = (i - 1), (i - 2), \dots, 1$  do
5           $\vec{b}_i = \vec{b}_i - \left\lfloor \frac{\langle \vec{b}_i, \vec{o}_j \rangle}{\langle \vec{o}_j, \vec{o}_j \rangle} \right\rfloor \cdot \vec{b}_j$ 
6      end for
7      if  $\left\| \vec{o}_i + \frac{\langle \vec{b}_i, \vec{o}_{i-1} \rangle}{\langle \vec{o}_{i-1}, \vec{o}_{i-1} \rangle} \vec{o}_{i-1} \right\|^2 \geq \frac{3}{4} \|\vec{o}_{i-1}\|^2$  then
8           $i \leftarrow i + 1$ 
9      else
10         tausche  $\vec{b}_{i-1}$  mit  $\vec{b}_i$ 
11          $i \leftarrow \max(i - 1, 2)$ 
12     end if
13 end while

```


Einbettungstechnik ($\text{CVP}^n \rightarrow \text{SVP}^{n+1}$)



Komplexität der Gitterprobleme

Komplexitätstheoretische Analyse (Zusammenfassung)

Komplexitätstheoretische Ergebnisse (u. a.):

- CVP ist NP-hart
- SVP_{∞} ist NP-hart (offen für beliebige Norm)
- SVP ist NP-hart (unter randomisierten Reduktionen)

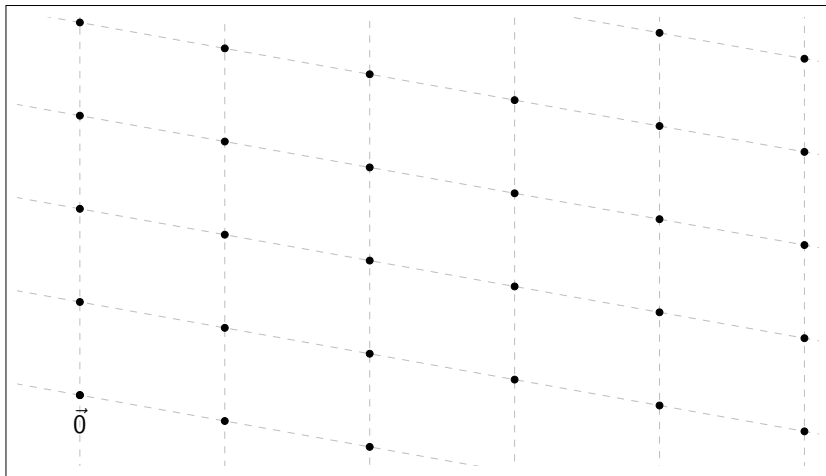
Miklos Ajtai hat 1996 folgende Reduktion gezeigt:

Satz

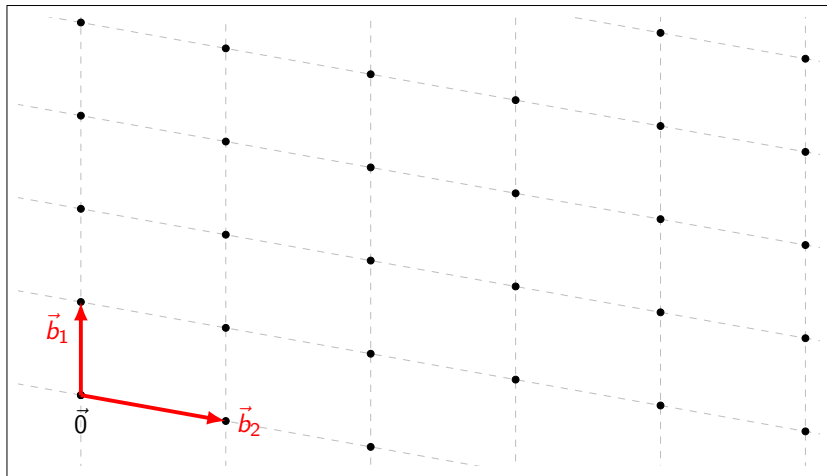
Sei $m, n, q \in \mathbb{N}$ mit $n \log(q) < m < \frac{q}{2n^4}$ und $q \in \mathcal{O}(n^c)$, wobei $c > 0$ eine Konstante ist, dann erzeugt die Menge $\{\vec{v} : M\vec{v} \equiv 0 \pmod{q}\}$, wobei $M \in \mathbb{Z}_q^{n \times m}$ mit $m \geq n$ eine bestimmte Klasse von Gittern $\mathcal{L}(B)$, in denen $*SIVP_{p(n)}^n \leq_t^p 1SVP^m$ mit $\gamma(n) \in \mathcal{O}(n^d)$, wobei d eine Konstante ist, gilt.

Gitterbasierte Kryptografieverfahren

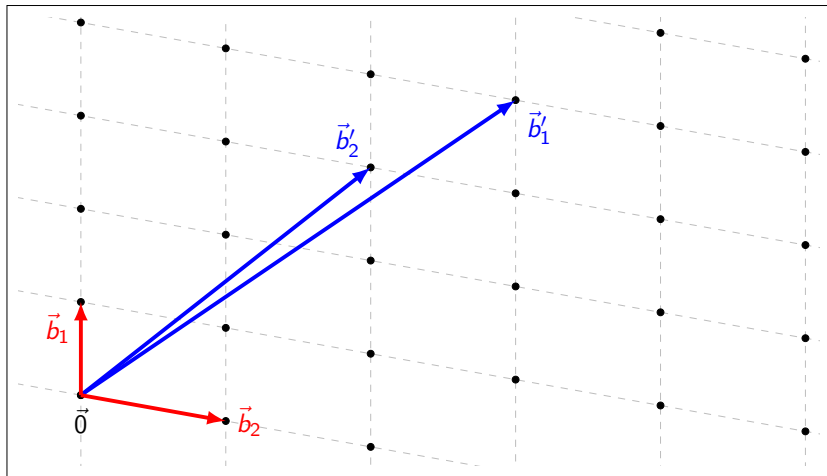
GGH-Kryptografieverfahren



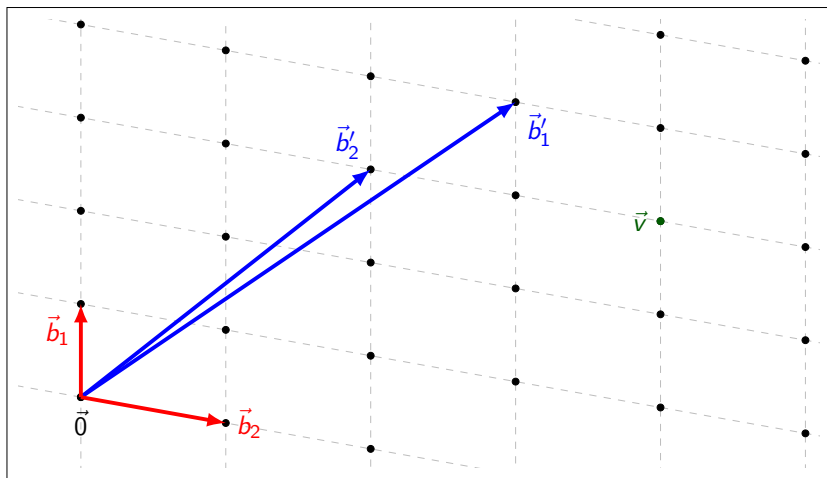
GGH-Kryptografieverfahren



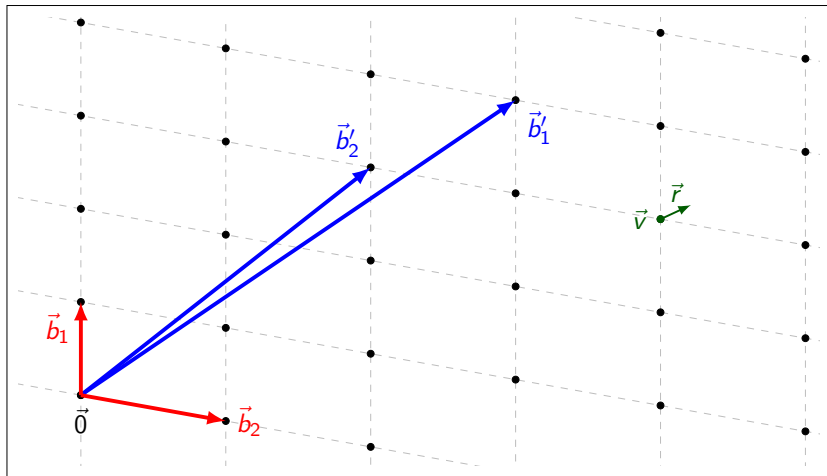
GGH-Kryptografieverfahren



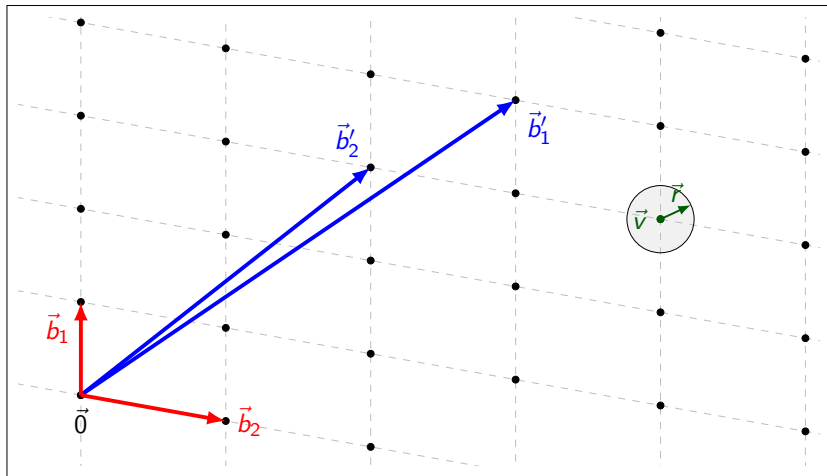
GGH-Kryptografieverfahren



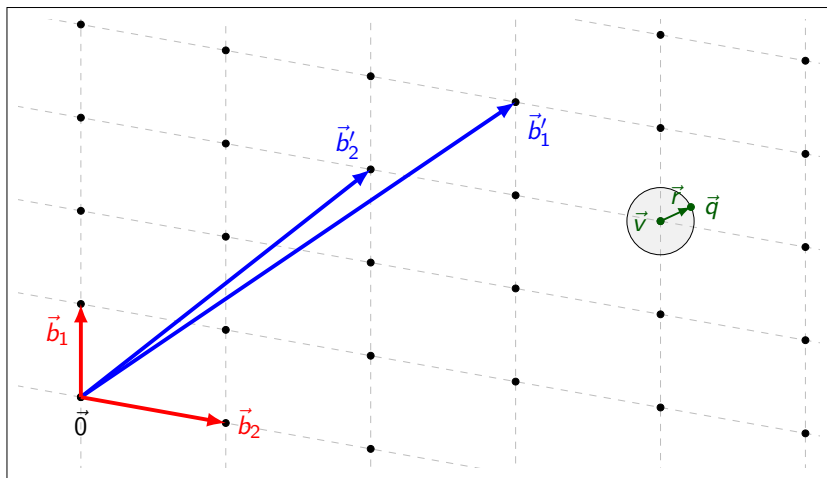
GGH-Kryptografieverfahren



GGH-Kryptografieverfahren



GGH-Kryptografieverfahren

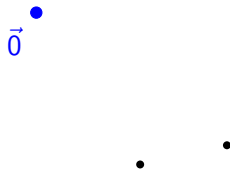


GGH-Signaturverfahren

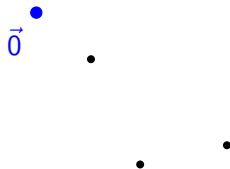


$\vec{0}$

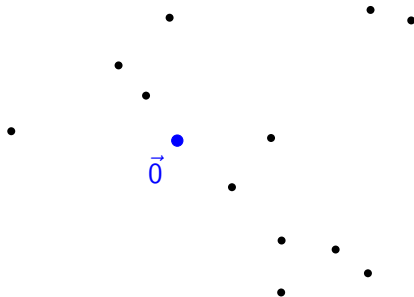
GGH-Signaturverfahren



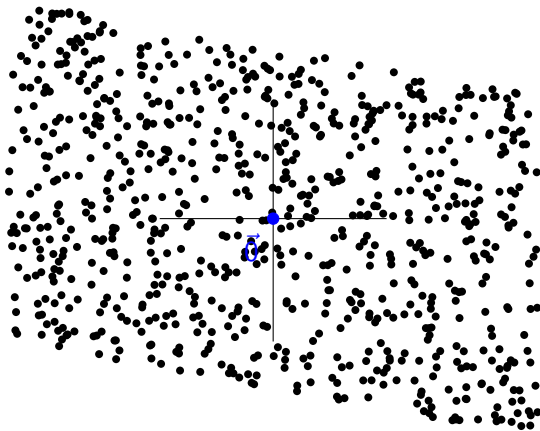
GGH-Signaturverfahren



GGH-Signaturverfahren



GGH-Signaturverfahren



Idee: honest-verifier perfect zero-knowledge interactive proof system

Sei (B, \vec{q}, d) eine Instanz von $\text{GapCVP}_{\gamma(n)}$ mit $B \in \mathbb{Q}^{m \times n}$, $\vec{q} \in \text{span}(B)$, $d \in \mathbb{Q}$ und $\forall \vec{w} \in \mathcal{L}(B) : \|\vec{w} - \vec{q}\| > \gamma(n) \cdot d$.

ZK-Protokoll

- 1 *Verifier* wählt zufällig ein $\sigma \in \{0, 1\}$, einen zufälligen Gittervektor $\vec{v} \in \mathcal{L}(B)$ in einer „sehr großen“ Kugel und gleichverteilt zufällig einen Fehlervektor \vec{r} (innerhalb einer Kugel mit Radius $\frac{\gamma(n) \cdot d}{2}$). Sendet $x =_{\text{def}} \vec{v} + \sigma \vec{q} + \vec{r}$ an den *Prover*.
- 2 *Prover* antwortet mit $\tau = 0$, wenn $\forall \vec{w} \in \mathcal{L}(B) : \|\vec{w} - \vec{x}\| < \|(\vec{w} + \vec{v}) - \vec{x}\|$, sonst mit $\tau = 1$.
- 3 *Verifier* akzeptiert, gdw. $\tau = \sigma$.

Fazit

- Interessanter Post-Quantum Kandidat
- Eigenschaft der „beweisbaren“ Sicherheit einzigartig
- Heute: Komplexere Gitter - NTRU (Zyklische Gitter) und LWE (Ideale Gitter) - die (nicht offensichtlich) Gitter als Grundlage verwenden
- (Noch) viele offene Fragen bzgl. Komplexität von Gitterproblemen und im Besonderen der Gitterbasisreduktion

Vielen Dank für die Aufmerksamkeit.